



PERÚ

Ministerio
de la Producción



IMARPE
INSTITUTO DEL MAR DEL PERÚ

BOLETÍN SEMANAL OCEANOGRÁFICO Y BIOLÓGICO-PESQUERO

Año 10, N° 30

Semana 30: 21 - 27 de julio de 2025

RESUMEN

- La anomalía promedio de la temperatura superficial del mar (TSM), con respecto a la semana anterior, descendió 0,12 °C en la región Niño 3.4 (-0,37 °C) y 0,24 °C en la Región Niño 1+2 (+0,22 °C), de acuerdo al producto OSTIA.
- La variación del nivel del mar evidenció el paso de la OK fría frente a la costa norte.
- Las aguas con TSM < 20 °C continuaron ampliando su cobertura frente a la costa norte, alcanzado el golfo de Guayaquil con una anomalía de -1,8 °C. A 25 mn de Punta Falsa, las aguas oceánicas de 21 °C mantuvieron su acercamiento, determinando una anomalía de hasta +2,4 °C. Hacia el sur, el debilitamiento de los vientos favoreció al incremento de núcleos cálidos de +1 °C, dispersos entre Chicama y Atico.
- El modelo MERCATOR indicó la permanencia de extensas zona de mezcla entre las ACF y las ASS frente a la costa centro y sur, así como una mayor influencia de las ASS frente a la costa norte.
- La información *in situ* evidenció el predominio de condiciones frías dentro de las 100 mn de Paita y sobre los 25 m, debido al ascenso hacia la superficie de las isoterms ente 17 y 19 °C. Frente a Chicama las condiciones frías ocurrieron por fuera de las 50 mn y hasta los 50 m, mientras que, hacia la costa se registraron anomalías positivas de hasta +1 °C sobre los 25 m. A 47 mn de Huacho se registraron anomalías positivas de hasta +2,9 °C (a 59 m) sobre los 96 m.
- La actividad pesquera de anchoveta en la región Norte-Centro presentó un predominio de ejemplares con tallas menores a 12 cm y se concentró en diversos sectores entre Pimentel y Chimbote desde las 10 a 50 mn, y desde Supe a Pucusana dentro de las 20 mn. A partir del 24 de julio, se dio por finalizada la Primera Temporada de Pesca 2025 del recurso anchoveta (*Engraulis ringens*) y anchoveta blanca (*Anchoa nasus*) en el sector Norte-Centro (RD N° 00120-2025-PRODUCE).

PRONÓSTICO

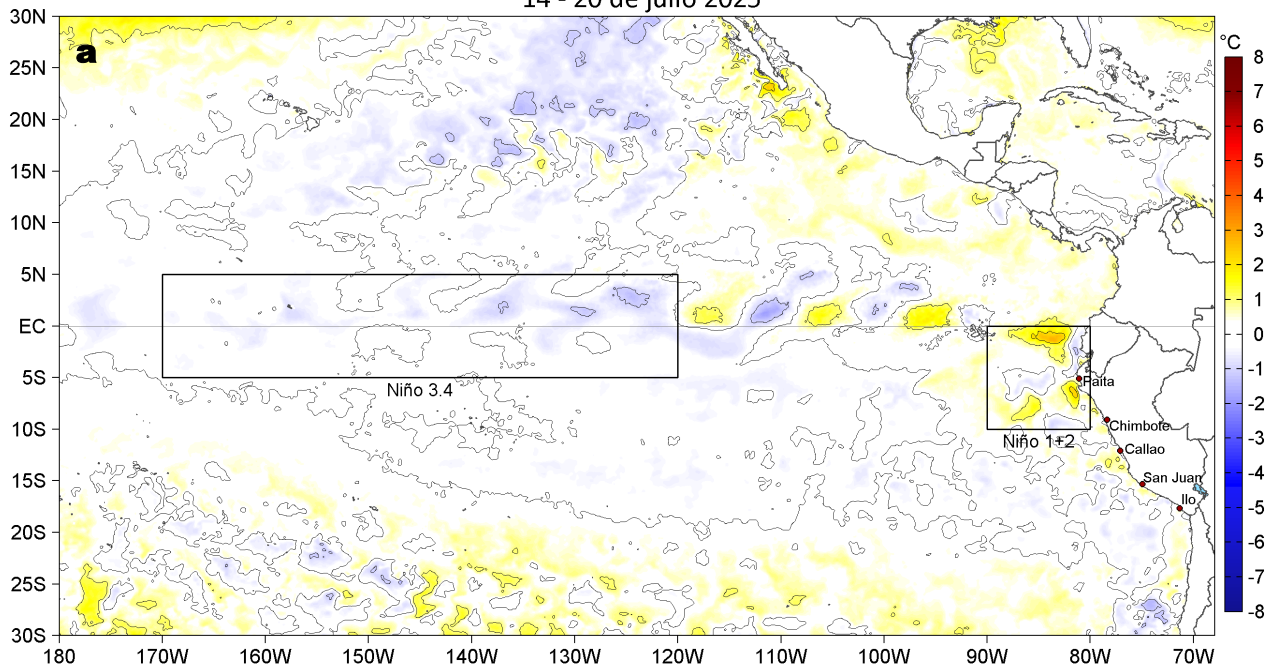
- Frente a la mayor parte de la costa centro y sur, la velocidad del viento (VV) se incrementaría de moderada/débil a fuerte/muy fuerte, pasando de anomalías negativas hasta el 31 de julio, a anomalías positivas a partir del 01 de agosto, con valores superiores a +1,0 m/s.
- De acuerdo con el modelo MERCATOR, en la región Niño 1+2, hasta el 08 de agosto se espera el ascenso de las anomalías de TSM, presentando valores positivos de hasta +0,5 °C.

Callao, miércoles 30 de julio del 2025

Servicio de Información Oceanográfica del Fenómeno El Niño (SIOFEN)
Dirección General de Investigaciones en Oceanografía y Cambio Climático (DGIOCC) y
Dirección General de Investigaciones de Recursos Pelágicos (DGIRP)
Instituto del Mar del Perú (IMARPE)

I. CONDICIONES DE MACROESCALA

Anomalías de la Temperatura Superficial del Mar (°C)
14 - 20 de julio 2025



Anomalías de la Temperatura Superficial del Mar (°C)
21 - 27 de julio 2025

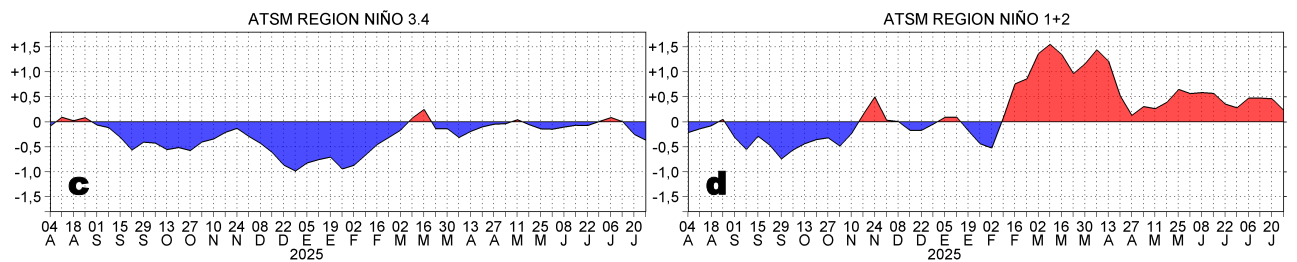
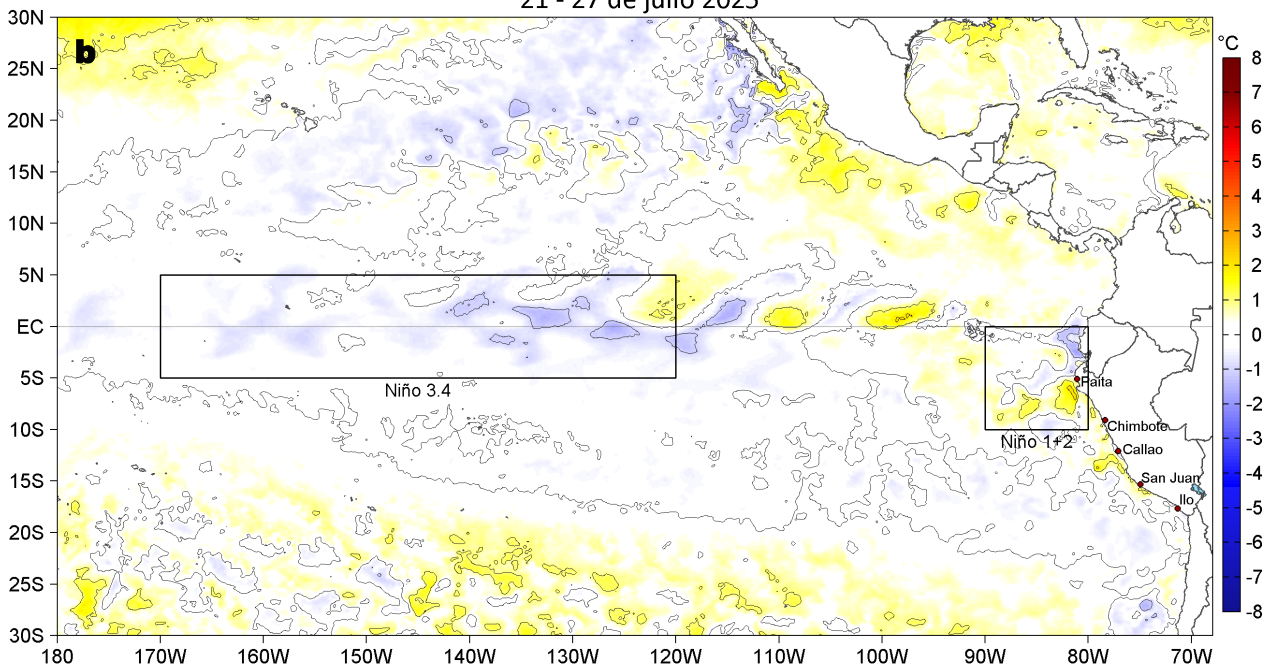


Figura 1. Anomalías promedio de la temperatura superficial del mar (TSM, °C) en el océano Pacífico tropical del 14 al 20 de julio (a) y del 21 al 27 de julio (b) del 2025, así como la variación del promedio semanal durante el último año para la región Niño 3.4 (c) y la región Niño 1+2 (d). Las regiones Niño 3.4 y Niño 1+2 en los sectores central y oriental del océano, respectivamente, están delimitadas con una línea de color gris. Datos: OSTIA-UKMO-L4-GLOB-v2.0 (UK Met Office, 2012; Donlon et al, 2012). Climatología: 1991-2020.

II. CONDICIONES DE MESOESCALA

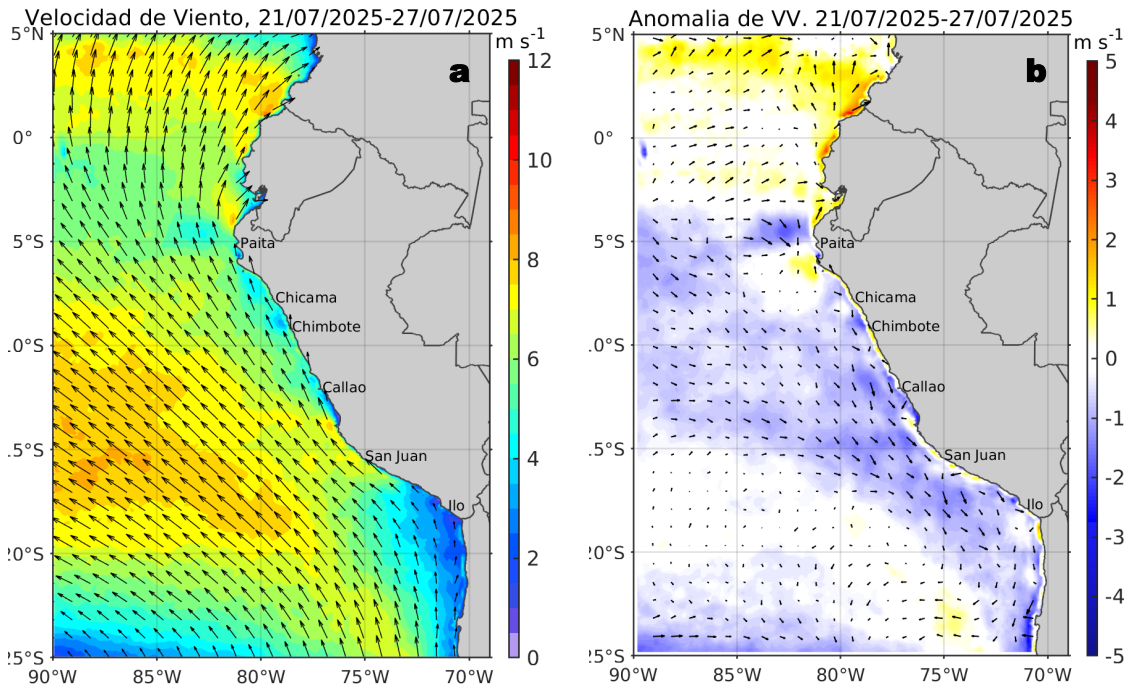


Figura 2. Distribución espacial promedio de: a) la velocidad (m/s) y dirección del viento (°) y b) anomalías de la velocidad (m/s) y dirección del viento (°) frente a la costa peruana del 21 al 27 de julio del 2025. La velocidad del viento y su anomalía se presentan en matices de colores a la derecha. La dirección del viento y su anomalía se presentan con flechas. Fuente de los datos: CMEMS. Climatología: 2000-2020.

Entre Máncora y Atico, la velocidad del viento (VV) se mantuvo en el rango moderado (4,1 a 6,8 m/s) a fuerte (6,8 a 10,4 m/s) en el sector oceánico y frente a la costa central; al norte de Máncora, al sur de Atico y en la franja bien costera se mantuvo en el rango débil (0,7 a 4,1 m/s) a moderado. Frente a la mayor parte de la costa, se presentaron anomalías negativas de la VV en el sector oceánico y frente a la zona centro-sur.

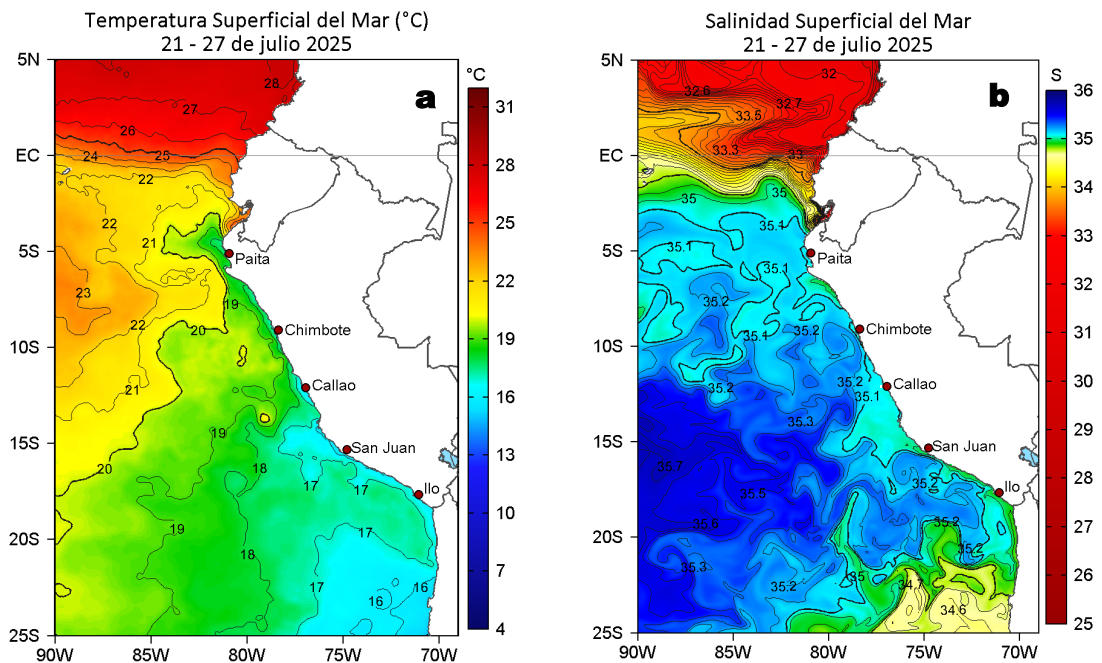


Figura 3. Distribución espacial promedio de la: a) Temperatura superficial del Mar (TSM, °C) y b) Salinidad superficial del mar (SSM) del 21 al 27 de julio del 2025. Datos: OSTIA-UKMO-L4-GLOB-v2.0 (UK Met Office, 2012; Donlon et al, 2012) para (a) y del GLOBAL_ANALYSISFORECAST_PHY_001_024 (Lellouche, J. M. et al, 2013) para (b).

La TSM en la franja adyacente al litoral peruano varió entre 24,4 °C (Tumbes) y 15,4 °C (San Juan de Marcona). Las aguas costeras < 20 °C continuaron ampliando su cobertura frente a la costa norte, alcanzando el golfo de Guayaquil. Frente a la costa central se registró un leve repliegue a la costa de la isoterma de 19 °C, mientras que, a 25 mn de Punta Falsa se mantuvo el acercamiento de las aguas de 21 °C, generando una anomalía de hasta +2,4 °C (Figura 3a y 1). De acuerdo al modelo Mercator (Figura 3b), las Aguas Subtropicales Superficiales (ASS; SSM>35,1) mostraron una mayor influencia frente a la costa norte, determinando una amplia zona de mezcla. Frente a la costa centro y sur, se mantuvo la zona de mezcla entre las ASS y ACF (aguas costeras frías; 34,8<SSM<35,1), con un mayor acercamiento de las ASS frente a Huarmedy, Atico e Ilo.

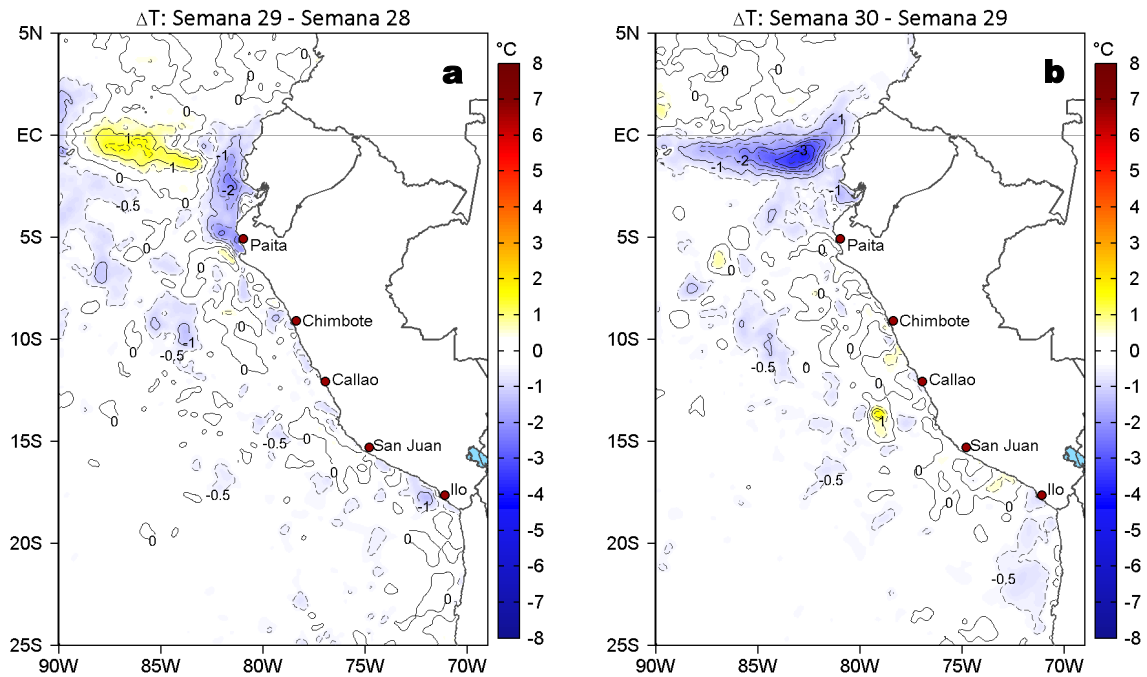


Figura 4. Variación semanal de la TSM ($^{\circ}\text{C}$) en el océano Pacífico tropical oriental entre: a) vigésima novena (14 - 20 de julio) y vigésima octava (07 - 13 de julio) semana del 2025 y b) trigésima (21 - 27 de julio) y vigésima novena (14 - 20 de julio) semana del 2025. Los mapas, que indican el grado de calentamiento o enfriamiento de una semana a otra, provienen de OSTIA-UKMO-L4-GLOB-v2.0 (UK Met Office, 2012; Donlon et al, 2012).

Con respecto a la semana anterior (Figura 4b), la TSM al norte de Paita disminuyó, particularmente hacia el sector ecuatorial, en hasta $3,7^{\circ}\text{C}$. Al sur de Paita la TSM presentó cambios poco significativos.

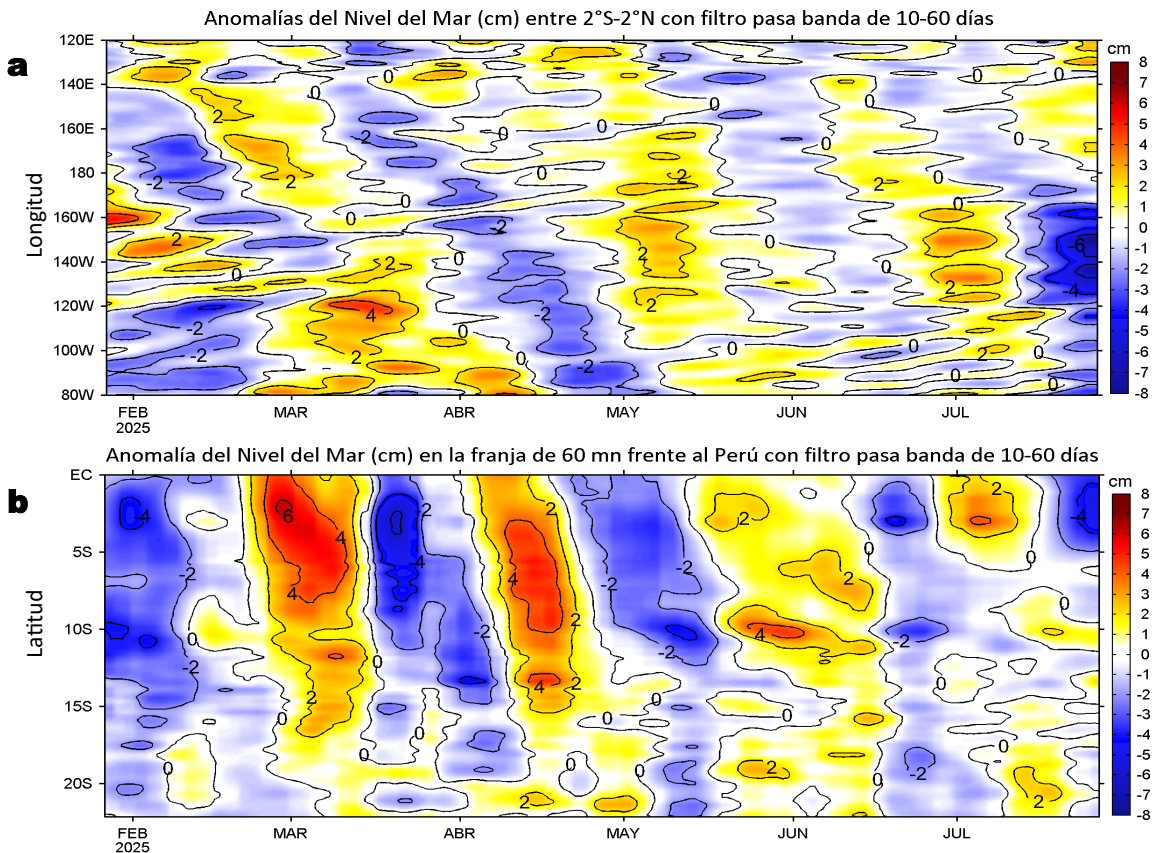


Figura 5. Anomalías diarias del nivel del mar (cm) con filtro pasa banda de 10-60 días para: a) la franja de $2^{\circ}\text{S}-2^{\circ}\text{N}$ en el Pacífico ecuatorial y b) la franja de 60 mn adyacente a la costa entre el ecuador geográfico y 22°S , actualizado al 27 de julio del 2025. Datos: CMEMS-DUACS. Climatología: 1993-2020.

En la franja costera de 60 mn, las anomalías de nivel del mar (ANM) filtradas presentaron valores negativos con una mayor intensidad al norte de Paita, asociado al paso de la onda Kelvin fría que inició su arribo a la costa Sudamericana la semana anterior. Hacia el sur, las ANM filtradas no variaron de forma significativa ($\pm 1\text{ m/s}$). En el Pacífico ecuatorial, las ANM filtradas positivas se extendieron hasta los 180° , señalando la probable propagación de una onda Kelvin cálida.

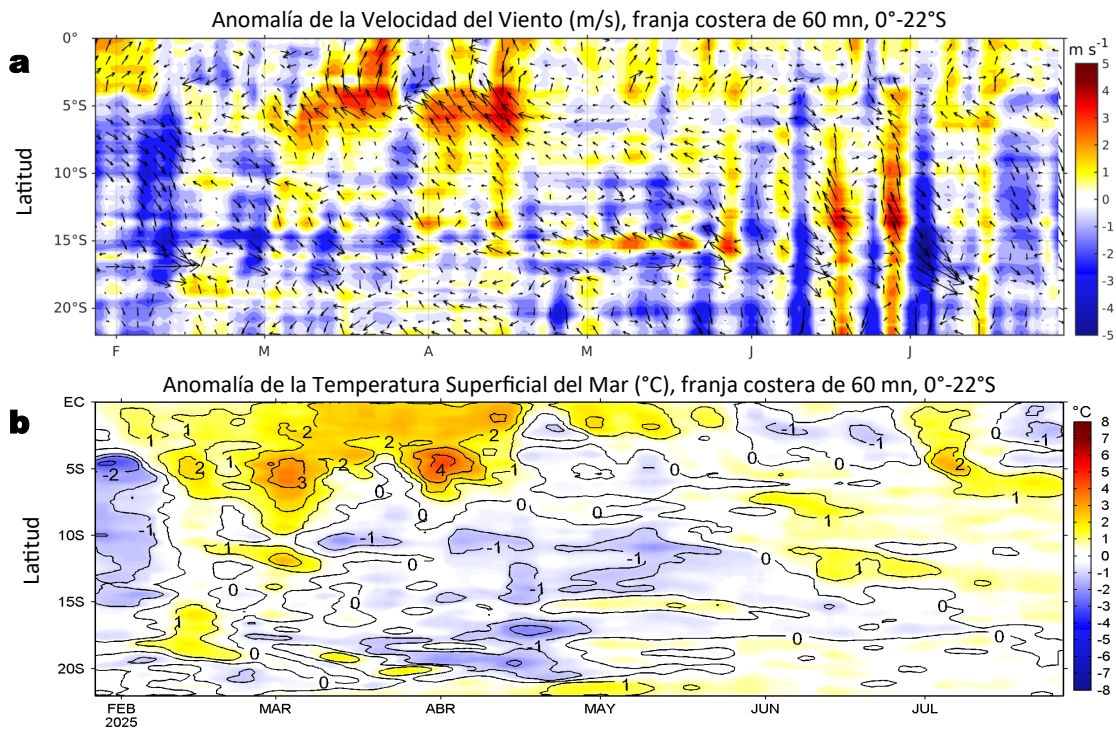


Figura 6. Evolución de las anomalías diarias de: a) Velocidad del viento (m/s) y b) TSM (°C) de enero al 27 de julio del 2025. Datos: CMEMS para (a) y OSTIA-UKMO-L4-GLOB-v2.0 para (b). Las anomalías fueron calculadas para una franja de 60 mn adyacente a la costa entre el ecuador geográfico y 20°S para (a) y 22°S para (b), según los promedios diarios de 2000-2020 para (a) y de 1991-2020 para (b). La barra de colores a la derecha muestra la escala de las anomalías en cada caso.

En la franja costera de 60 mn, al norte de Máncora predominaron anomalías en el rango neutro de la velocidad del viento (VV), mientras que, al sur de Máncora predominaron anomalías negativas (Figura 6a). Estas condiciones contribuyeron a la permanencia de las condiciones cálidas entre Chicama y San Juan de Marcona (+0,5 °C) y particularmente frente a Punta Falsa (> +1 m/s; Figura 6b).

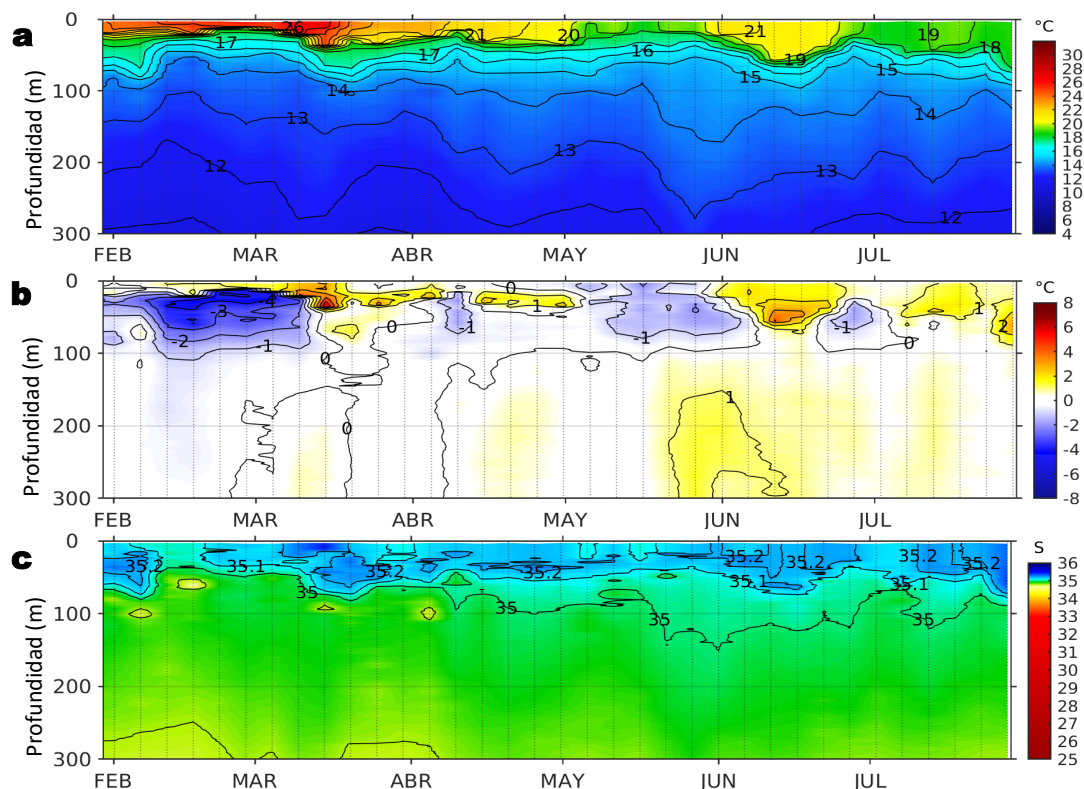
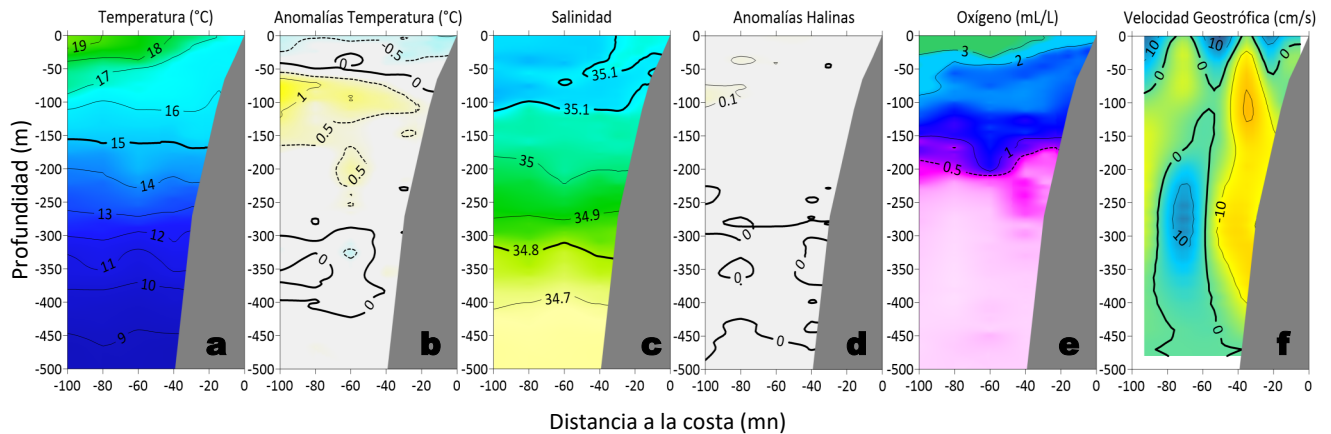


Figura 7. Diagrama Hovmöller de: a) Temperatura del mar (°C), b) Anomalías térmicas (°C) y c) Salinidad del mar registrados por el perfilador ARGO No. 6903004, a 47 mn (11,46°S y 78,31°W) frente a Huacho el día 28 de julio 2025. Las anomalías térmicas se calcularon de acuerdo a Domínguez et al (2023). Los puntos en la columna de agua indican los días en que el perfilador registró información. Datos: ARGO.

A 47 mn frente a Huacho el día 28 de julio, se registró una TSM de 18,8 °C con anomalía de +0,6 °C, y un valor de salinidad de 35,32. En la columna de agua se observaron anomalías entre +0,5 °C y +2,9 °C (a 59 m) entre la superficie y los 96 m.

IIA. CONDICIONES REGISTRADAS EN MONITOREO BIO-OCEANOGRÁFICO

Sección: Paita (26 y 27 julio, 2025)
Embarcación: BIC Flores



Sección: Chicama (24-25 de julio, 2025)
Embarcación: BIC Flores

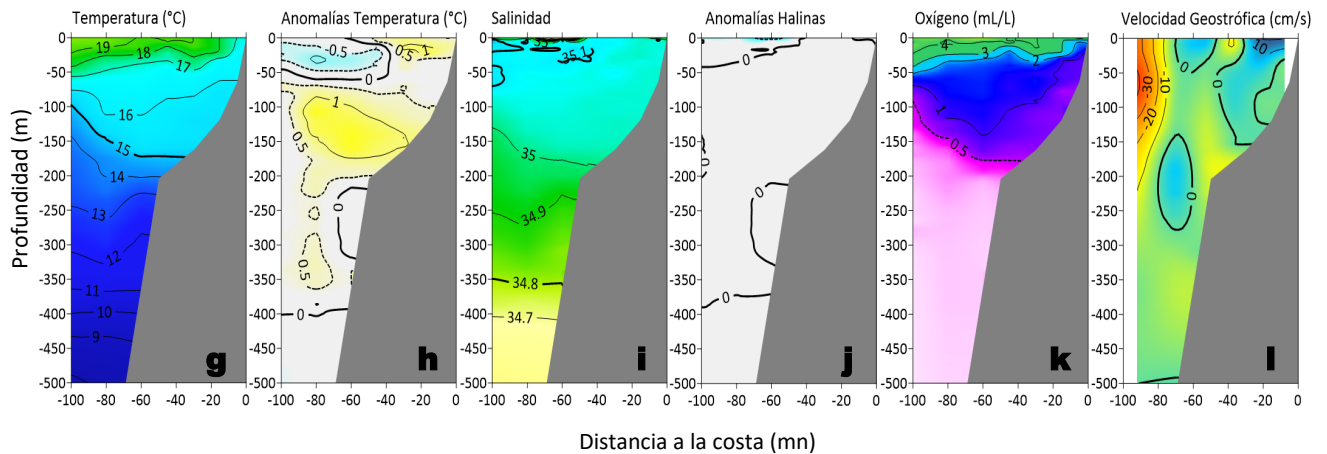


Figura 8. Estructura vertical de la a, g) temperatura (°C), b, h) anomalías térmicas (°C), c, i) salinidad, d, j) anomalías halinas, e, k) oxígeno (mL/L) y f, l) velocidad geostrofica, registradas dentro de las 100 mn costeras durante el “Monitoreo Bio-Oceanográfico frente a Paita y Chicama 2507”. Las anomalías se calcularon de acuerdo a Domínguez et al (2023).

Frente a Paita, en la superficie predominaron condiciones neutras a frías débiles, aunque se registró un núcleo con anomalías de +1 °C entre los 50 y 100 m de profundidad desde las 80 a las 100 mn de la costa (Figura 8b). En Chicama, en superficie se observó un núcleo de anomalías de +1 °C que abarcó desde las 20 hasta las 40 mn (Figura 8h). La presencia de las ASS fue más notoria en Paita en los primeros 100 m, mientras que en Chicama los valores de salinidad sugirieron mezcla de las ASS con las ACF (Figura 8c, d, i y j). El comportamiento de las iso-oxígenas indicó procesos de afloramiento en ambas secciones. La oxiclina, representada por la iso-oxígena de 1 mL/L se distribuyó entre los 150 y 200 m frente a Paita; y entre los 70 y 140 m frente a Chicama. Frente a Paita, destacó un flujo del norte sobre el talud continental con velocidades de 10 a 20 cm/s, mientras que los flujos del sur se registraron sobre los 100 m y a los 250 m a las 70 mn. Frente a Chicama, se detectaron flujos del sur dentro de las 30 mn con velocidades de 10 cm/s y flujos del norte por fuera de las 90 mn con velocidades de hasta 30 cm/s (Figura 8l).

III. ÍNDICES CLIMÁTICOS Y BIOLÓGICO-PESQUERO

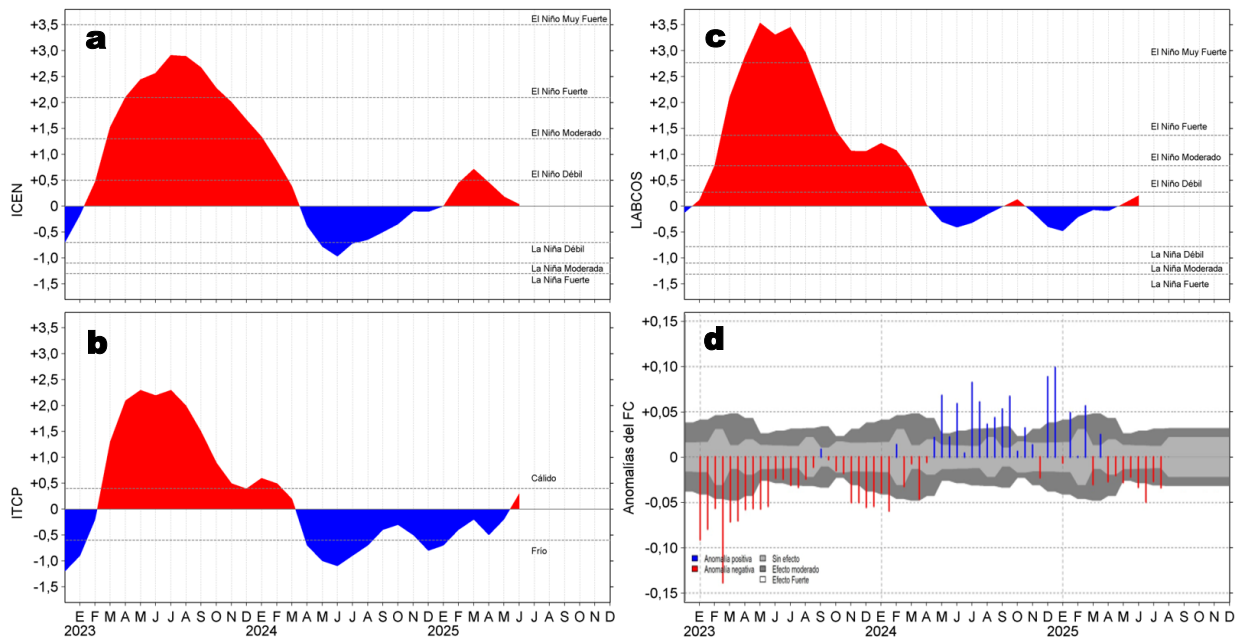


Figura 9. Series de tiempo de: a) Índice Costero El Niño (ICEN; ENFEN, 2024), b) Índice Térmico Costero Peruano (ITCP; Quispe et al., 2016), c) Índice de Laboratorios Costeros (LABCOS; Quispe y Vásquez, 2015) y d) Anomalías del índice del factor de condición (AFC) de la anchoveta peruana *Engraulis ringens* (Cuba et al., 2019) desde diciembre 2022 hasta julio del 2025.

Con respecto a la condición somática de la anchoveta *Engraulis ringens*, en lo que va de julio la anomalía del factor de condición presentó valores negativos con una intensidad menor a lo registrado en junio. Estas anomalías fueron de efecto moderado y fuerte para la primera y segunda quincena de julio, respectivamente (Figura 9d).

IV. ASPECTOS BIOLÓGICO-PESQUEROS

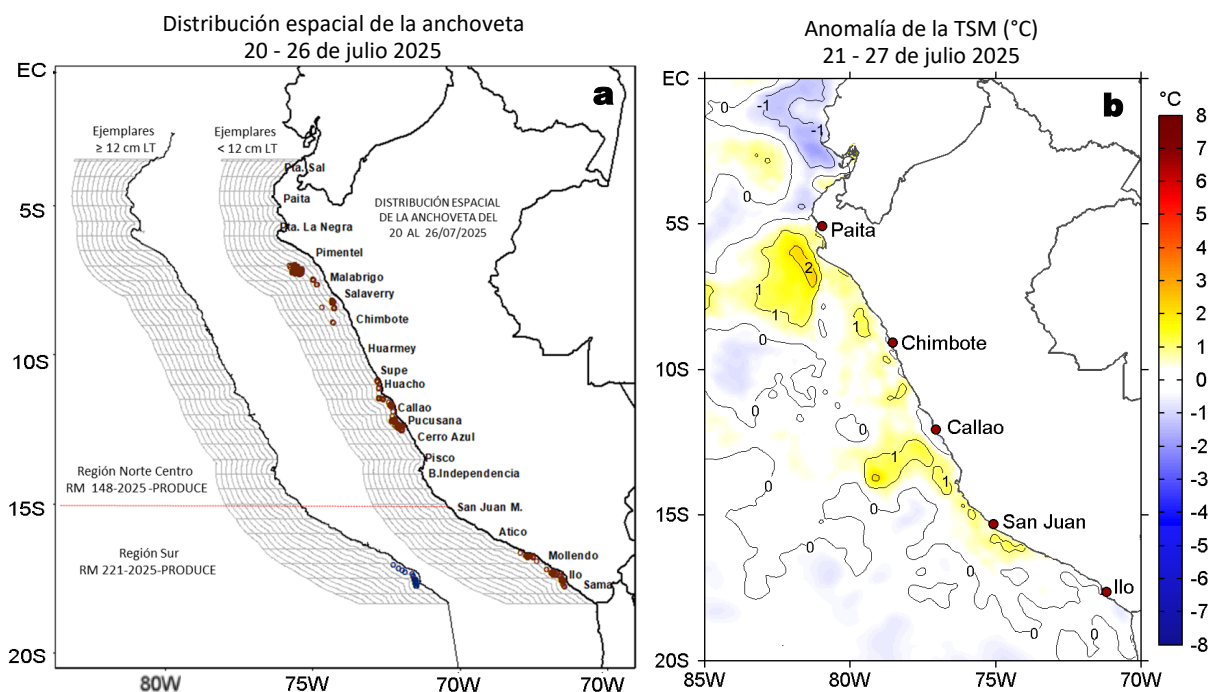


Figura 10. a) Distribución de la anchoveta según porcentaje de juveniles por región y su relación con b) las anomalías térmicas (°C) para la semana del 21 al 27 de julio de 2025. Datos: OSTIA-UKMO-L4-GLOB-v2.0 (UK Met Office, 2012; Donlon et al, 2012). Las anomalías térmicas se calcularon con respecto de la climatología para el período 1991-2020.

La actividad pesquera de la anchoveta en la región Norte-Centro se concentró en diversos sectores entre Pimentel y Chimbote desde las 10 a 50 mn y desde Supe a Pucusana dentro de las 20 mn, con predominio de ejemplares con tallas menores a 12 cm. En la región sur, la actividad pesquera se concentró entre Mollendo y Morro Sama dentro de las 10 mn costeras (Figura 10a). Estas zonas se caracterizaron por condiciones entre neutras y cálidas débiles (Figura 10b).

V. PRONÓSTICO

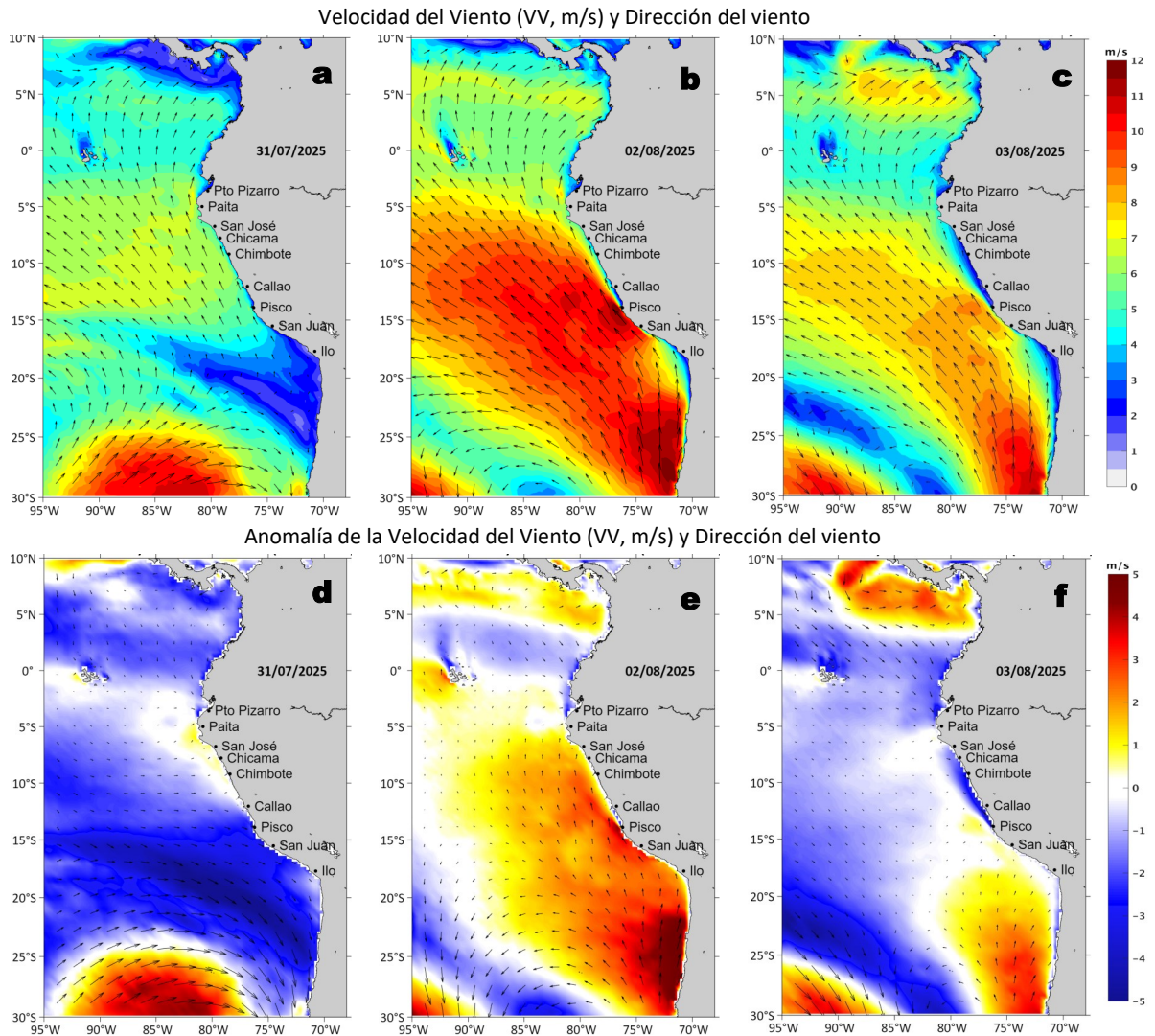


Figura 11. Distribución espacial del pronóstico de la velocidad del viento (VV, m/s) y dirección del viento ($^{\circ}$), así como para sus anomalías para los días a) 31 de julio, b) 02 y c) 03 de agosto de 2025, frente a la costa sudamericana entre Centroamérica y la costa norte de Chile. Fuente: Modelo Climate Forecast System (GFS) de la NOAA. Climatología: 2000-2020.

Hasta el 3 de agosto, entre Talara e Ilo, la VV se incrementaría de moderada/débil a fuerte/muy fuerte en el sector oceánico y la costa central. Al norte de Talara, al sur de Atico y en la franja muy costera continuarían VV entre moderadas a débiles. Hasta el 31 de julio se presentarían anomalías negativas ($< -1,0$ m/s), anomalías positivas ($> +1,0$ m/s) del 1 al 2 de agosto y anomalías variadas el 3 de agosto, afectando principalmente las costas centro y sur.

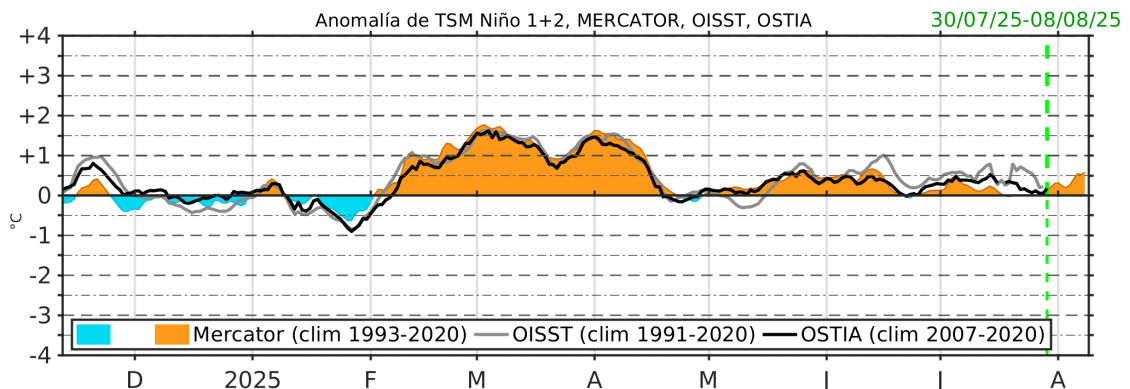


Figura 12. Series de tiempo de la anomalía de TSM diaria en la región Niño 1+2, obtenidas a partir del modelo MERCATOR a escala diaria (sombreado celeste y naranja), el producto OISST (línea gris) y el producto OSTIA (línea negra), a partir del promedio climatológico de 1993-2020, 1991-2020 y 2007-2020, respectivamente. La línea discontinua vertical de color verde indica la fecha de inicio del pronóstico de las anomalías de TSM según MERCATOR.

De acuerdo con el modelo MERCATOR, en la región Niño 1+2, hasta el 08 de agosto, se espera la presencia de anomalías positivas de TSM, alcanzando un valor hasta $+0,5$ $^{\circ}$ C.

Condiciones iniciales: 21-27 de julio, 2025

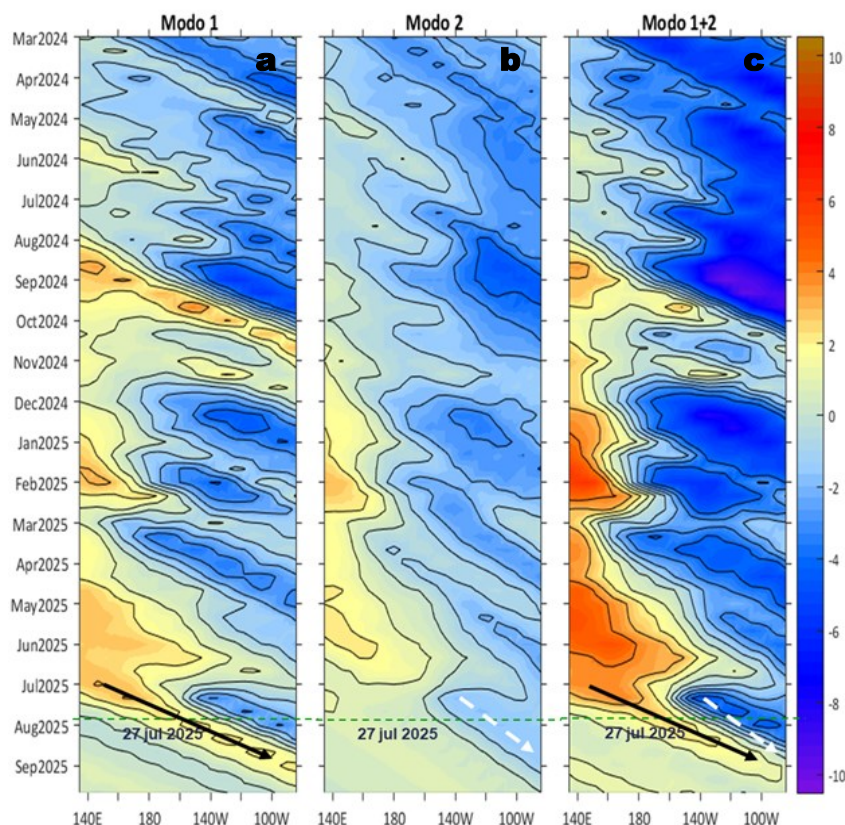


Figura 13. Diagramas Hovmöller longitud-tiempo de las ondas Kelvin ecuatoriales (OKE) en el océano Pacífico ecuatorial entre 130°E y 95°W y en la banda entre 1°N-1°S, forzado con anomalías del esfuerzo del viento (N/m^2) del NCEP (Kalnay et al., 1996) de acuerdo con la metodología de Illig et al. (2004) y Dewitte et al. (2002): a) Modo 1, b) Modo 2 y c) Modos 1+2. La línea discontinua horizontal de color verde indica la fecha del inicio del pronóstico con anomalías del esfuerzo del viento igual a cero. Los valores negativos corresponden a ondas Kelvin de afloramiento (frías) y están representadas por flechas discontinuas de color blanco. Los valores positivos corresponden a ondas Kelvin de hundimiento (cálidas) cuya propagación está representada por flechas de color negro sólido (modo 1) y discontinuo (modo 2). Datos del modelo: LMOECC/AFIOF/DGIOCC/IMARPE.

La última simulación del modelo de ondas Kelvin ecuatoriales (OKE) implementado en el IMARPE, forzada con anomalías del esfuerzo del viento ecuatorial superficial obtenidas del NCEP al 27.07.2025, indicó que la OKE fría (modo 2), mencionada en el boletín anterior, continua su propagación hacia el este y llegará al extremo oriental del Pacífico ecuatorial entre agosto y setiembre. Por otro lado, la OKE cálida (modo 1), mencionada en el boletín anterior, habría disminuido ligeramente su intensidad debido a las anomalías de vientos del este en el Pacífico ecuatorial central, y llegará al extremo oriental del Pacífico ecuatorial en setiembre.

RECONOCIMIENTOS

The Group for High Resolution Sea Surface Temperature (GHRSSST) Multi-scale Ultra-high Resolution (MUR) Level 4 OSTIA Global Foundation Sea Surface Temperature Analysis (GDS version 2). Ver. 2.0 data were obtained from the NASA EOSDIS Physical Oceanography Distributed Active Archive Center (PO.DAAC) at the Jet Propulsion Laboratory, Pasadena, CA (<http://dx.doi.org/10.5067/GHGMR-4FJ01>).

IFREMER/CERSAT. 2005. ERS-1 Level 3 Gridded Mean Wind Fields (IFREMER). Ver.1.PO.DAAC, CA, USA (<ftp://anonymous@ftp.ifremer.fr/ifremer/cersat/products/gridded/mwf-ers1>).

The Ssalto/Duacs altimeter products were produced and distributed by the Copernicus Marine and Environment Monitoring Service (CMEMS) (<https://data.marine.copernicus.eu/products>).

The products from the MERCATOR OCEAN system distributed through the Marine Copernicus Service (<https://data.marine.copernicus.eu/products>).

The Pacific Islands Ocean Observing System (PacIOOS) is funded through the National Oceanic and Atmospheric Administration (NOAA) as a Regional Association within the U.S. Integrated Ocean Observing System (IOOS). PacIOOS is coordinated by the University of Hawaii School of Ocean and Earth Science and Technology (SOEST).

Las anomalías del índice de factor de condición fueron determinadas a partir de información brindada por el Laboratorio de Biología Reproductiva de la sede central de IMARPE.

Este boletín es una acción del Programa Presupuesto Por Resultados - PPR 068 El Niño "Reducción de Vulnerabilidad y Atención de Emergencias por Desastres" y su producto "Entidades Informadas en forma permanente y con pronósticos frente al Fenómeno El Niño" del IMARPE.

REFERENCIAS

- Cuba, A., Sánchez, J., Mori, J., & Chávez, G. (2019). Anomalías de los índices reproductivos fracción desovante e índice gonadosomático de anchoveta peruana *Engraulis ringens* (Jenyns, 1842) del stock norte-centro del Perú en relación a El Niño Costero 2017. *The Biologist*, 17(2).
- Dewitte B., D. Gushchina, Y. du Penhoat and S. Lakeev, 2002: On the importance of subsurface variability for ENSO simulation and prediction with intermediate coupled models of the Tropical Pacific: A case study for the 1997-1998 El Niño. *Geoph. Res. Lett.*, vol. 29, no. 14, 1666, 10.1029/2001GL014452.
- Donlon, C. J, M. Martin, J. Stark, J. Roberts-Jones, E. Fiedler, W. Wimmer, 2012. The Operational Sea Surface Temperature and Sea Ice Analysis (OSTIA) system. *Remote Sen. Env.*, 116, 140-158.
- ENFEN, 2024. Definición operacional de los eventos El Niño Costero y La Niña Costera en el Perú. Nota Técnica. <https://enfen.imarpe.gob.pe/download/nota-tecnica-enfen-01-2024-definicion-operacional-de-los-eventos-el-nino-costero-y-la-nina-costera-en-el-peru/?wpdmdl=1905&ind=1733921744133>
- ENFEN, 2025. Informe Técnico ENFEN. Año 11, N° 09, 11 de julio del 2025, 87 p. <https://enfen.imarpe.gob.pe/download/informe-tecnico-enfen-ano-11-n08-al-11-de-julio-de-2025/?wpdmdl=1952&refresh=687680c99a38a1752596681>
- Hobday, A. J., Alexander, L. V., Perkins, S. E., Smale, D. A., Straub, S. C., Oliver, E. C. J., ... Wernberg, T. (2016). A hierarchical approach to defining marine heatwaves. *Progress in Oceanography*, 141, 227–238. doi:10.1016/j.pocean.2015.12.014
- Illig, S., B. Dewitte, N. Ayoub, Y. du Penhoat, G. Reverdin, P. De Mey, F. Bonjean and G. S. E. Lagerloef, 2004: Interannual Long Equatorial Waves in the Tropical Atlantic from a High Resolution OGCM Experiment in 1981-2000, *Journal of Geophysical Research*, 109, C02022, doi:10.1029/2003jc001771.
- Kalnay, E., M. Kanamitsu, R. Kistler, W. Collins, D. Deaven, L. Gandin, M. Iredell, S. Saha, G. White, J. Woollen, Y. Zhu, A. Leetmaa, B. Reynolds, M. Chelliah, W. Ebisuzaki, W. Higgins, J. Janowiak, K. Mo, C. Ropelewski, J. Wang, R. Jenne, and D. Joseph, 1996: The NCEP/NCAR 40-Year Reanalysis Project. *Bull. Amer. Meteor. Soc.*, 77, 437–471.
- Kobayashi S, Ota Y, Harada Y, Ebata A, Moriya M, Onoda H, Onogi K, Kamahori H, Kobayashi C, Endo H, Miyaoka K, Takahashi K (2015) The JRA-55 reanalysis: general specifications and basic characteristics. *J Meteor Soc Jpn* 93: 5–48.
- Lellouche, J.-M., Le Galloudec, O., Drévillon, M., Régnier, C., Greiner, E., Garric, G., Ferry, N., Desportes, C., Testut, C.-E., Bricaud, C., Bourdallé-Badie, R., Tranchant, B., Benkiran, M., Drillet, Y., Daudin, A., and De Nicola, C.: Evaluation of global monitoring and forecasting systems at Mercator Océan, *Ocean Sci.*, 9, 57-81, 2013.
- Perea, A., B. Buitrón, J. Mori, J. Sánchez, C. Roque, 2015. Anomalías de los Índices reproductivos de anchoveta *Engraulis ringens* en relación al ambiente. En: *Boletín Trimestral Oceanográfico*, Volumen 1, Números 1-4, pp.: 27-28.
- Pietri, A., Colas, F., Mogollon, R., J. Tam & D. Gutierrez. Marine heatwaves in the Humboldt current system: from 5-day localized warming to year-long El Niños. *Sci Rep* 11, 21172 (2021). <https://doi.org/10.1038/s41598-021-00340-4>
- Quispe Ccallauri, C, J. Tam, H. Demarcq, C. Romero, D. Espinoza, A. Chamorro, J. Ramos, R. Oliveros, 2016. El Índice Térmico Costero Peruano. En: *Boletín Trimestral Oceanográfico*, Volumen 2, Número 1, pp: 7-11.
- Quispe-Ccalluari C, Tam J, Arellano C, Chamorro A, Espinoza-Morriberón D, Romero C, Ramos J. 2015. Desarrollo y aplicación de índices y simulaciones para la vigilancia y el pronóstico a mediano plazo del impacto del ENOS frente a la costa peruana. *Inf. Inst. Mar Perú*, Vol. 44(1):28-34. <https://biblioiimarpe.imarpe.gob.pe/handle/20.500.12958/3149>
- Quispe, J. y L. Vásquez, 2015. Índice “LABCOS” para la caracterización de evento El Niño y La Niña frente a la costa del Perú, 1976-2015. En: *Boletín Trimestral Oceanográfico*, Volumen 1, Números 1-4, pp.: 14-18.

El Boletín Semanal Oceanográfico y Biológico-Pesquero (BS-OBP) presenta la evolución de variables físicas en el océano y la atmósfera, de la estructura físico-química del océano frente a la costa norte-centro del Perú en un contexto temporal de corto plazo y en un marco local-regional. El objetivo del BSOBP es comprender los efectos de la variabilidad de macroescala y regional de corto plazo en las condiciones oceanográficas y biológico-pesqueras del mar peruano. Esta información se sustenta en las redes observacionales in situ que administra el IMARPE y que se ha fortalecido en el marco del Programa Presupuesto Por Resultados - PPR 068 El Niño “Reducción de Vulnerabilidad y Atención de Emergencias por Desastres” y su producto “Entidades Informadas en forma permanente y con pronósticos frente al Fenómeno El Niño” del Estado Peruano. Asimismo, esta información local se complementa con un repertorio de productos satelitales y con mediciones directas de equipamiento de programas y proyectos internacionales con el fin de lograr un análisis integrado del estado del océano. El BS-OBP, asimismo, pretende informar de forma oportuna y permanente sobre el estado del océano a diferentes grupos de interés y sociedad en general y contribuir a mejorar el conocimiento del mar peruano y coadyuvar a la gestión del riesgo de desastres del Estado Peruano.

Servicio de Información Oceanográfica del Fenómeno El Niño (SIOFEN)
Instituto del Mar del Perú (IMARPE)



IMARPE (2025). Boletín Semanal Oceanográfico y Biológico-Pesquero N°30-2025, 21 - 27 de julio de 2025, Callao, Instituto del Mar del Perú.

<https://siofen.imarpe.gob.pe/boletines-e-informes/BS-OBP>

Colaboradores: Katherine Vásquez, Dimitri Gutiérrez, Carlos Quispe, Tony Anculle, Daniel Camarena, Javier Sánchez, Dany Ulloa, Cecilia Peña, Carlos Salcedo, Jorge Quispe.

© 2025 Instituto del Mar del Perú

Suscripciones: Complete [este formulario](#) o escriba a siofen@imarpe.gob.pe.

Consultas:

Servicio de Información Oceanográfica del Fenómeno El Niño, SIOFEN
Laboratorio de Hidrofísica Marina/AFIOF
Dirección General de Investigaciones Oceanográficas y Cambio Climático
Instituto del Mar del Perú
Esquina Gamarra y General Valle S/N, Chucuito, Callao - Perú.
Correo electrónico: siofen@imarpe.gob.pe.
Teléfono: (51 1) 208 8650 (Extensión 824).

Foto en la portada: Mar peruano (© M. Sarmiento/IMARPE).